

Représentation des Nombres et Algorithmes

Implémentation Complètement RNS du Schéma
de Chiffrement de Fan et Vercauteren

Vincent Zucca

Année 2016-2017

Rappels sur le RNS et FV

Théorème des Restes Chinois

Si $q \in \mathbb{Z}$ est produit d'entiers **premiers entre eux** deux à deux $\{q_1, \dots, q_k\}$ formant la "base RNS", on a l'isomorphisme d'anneaux :

$$\mathbb{Z}/q\mathbb{Z} \cong \mathbb{Z}/q_1\mathbb{Z} \times \dots \times \mathbb{Z}/q_k\mathbb{Z}$$

Residue Number Systems

- "Gros" $x \in [0, q) \cap \mathbb{Z} \leftrightarrow k$ **petits résidus** $(x \bmod q_1, \dots, x \bmod q_k)$.
- Arithmétique en **parallèle, sans retenue** $(+, -, \times, \div)$ sur les résidues.
- Système de représentation **non positionnel**.

→ la représentation RNS d'un nombre x dépend de la base choisie.

Comment convertir les résidues de x d'une base \mathcal{B} vers une base \mathcal{B}' ?

Rappels sur le RNS et FV

Pour convertir les résidus d'un nombre x d'une base \mathcal{B} vers une base \mathcal{B}' il est nécessaire de "reconstruire" x depuis ses résidus dans la base \mathcal{B} :

Exercice : Conversion(s) basée(s) sur le CRT

Soit $\mathcal{B} = \{m_1, \dots, m_k\}$ une base RNS d'intervalle dynamique $[0, M[\cap \mathbb{Z}$ et x un entier représenté dans \mathcal{B} par ses résidus (x_1, \dots, x_k) .

- 1 Montrer que $y = \sum_{i=1}^k \left| x_i \frac{m_i}{M} \right|_{m_i} \frac{M}{m_i}$ est bien défini et que $y = x + \alpha M$.
- 2 Donner un encadrement de α .
- 3 En déduire un algorithme de conversion "inexacte" de base.
- 4 Soit m_{sk} tel que $m_{sk} \wedge M = 1$, montrer que si $m_{sk} \geq k$ alors $\alpha = \left| (y - x_{sk}) M^{-1} \right|_{m_{sk}}$.
- 5 En déduire un algorithme de conversion "exacte" de base.

Rappels sur le RNS et FV

Conversion de base $\mathcal{B}_q = \{q_1, \dots, q_k\} \rightarrow \mathcal{B} = \{m_1, \dots, m_\ell\}$

- Conversion rapide mais **non-exacte** : x dans $\mathcal{B}_q \rightarrow |x|_q + \alpha q$ dans \mathcal{B} .
 \rightsquigarrow Rapide mais on a un “ q -overflow” $\alpha \in [0, k[\cap \mathbb{Z}$.
- Si besoin, rajouter un moduli m_{sk} à \mathcal{B}_q pour corriger α efficacement (Méthode de Shenoy et Kumaresan).

Application :

On a deux bases RNS $\mathcal{B} = \{13, 17\}$, $\mathcal{B}' = \{11, 19\}$ et $m_{sk} = 5$. Convertir $x_{\mathcal{B}} = (9, 16)$, $x_{sk} = 2$ vers \mathcal{B}' avec les deux méthodes vues ci dessus.

Rappels sur le RNS et FV

Conversion de base $\mathcal{B}_q = \{q_1, \dots, q_k\} \rightarrow \mathcal{B} = \{m_1, \dots, m_\ell\}$

- Conversion rapide mais **non-exacte** : x dans $\mathcal{B}_q \rightarrow |x|_q + \alpha q$ dans \mathcal{B} .
 \rightsquigarrow Rapide mais on a un “ q -overflow” $\alpha \in [0, k[\cap \mathbb{Z}$.
- Si besoin, rajouter un moduli m_{sk} à \mathcal{B}_q pour corriger α efficacement (Méthode de Shenoy et Kumaresan).

Solution :

- $y = 373$
- Conversion rapide : (10, 12)
- $\alpha = |(y - x_{sk})221^{-1}|_5 = 1$
- Shenoy Kumaresan : (9, 0)

Rappels sur le RNS et FV

Contexte : $\mathcal{R}_q \cong (\mathbb{Z}/q\mathbb{Z})[X]/(X^n + 1)$

Optimisations classique pour l'arithmétique sur...

...les coefficients: **Residue Number Systems**

pas de contrainte sur la forme de q : $\rightarrow q = q_1 \dots q_k$ ("petits" modulus premiers entre eux et de même taille).

$$\mathbb{Z}/q\mathbb{Z} \cong \mathbb{Z}/q_1\mathbb{Z} \times \dots \times \mathbb{Z}/q_k\mathbb{Z}$$

...les polynômes : **Number Theoretic Transform**

Produit polynomial optimisé avec n une puissance de 2 : $\mathcal{O}(n \log_2(n))$.

Les deux représentations sont compatibles.

Rappels sur le RNS et FV

Tableau des représentations

Coût pour monter/descendre

Entiers

Polyômes

Utilité

positionnel

coefficients

comparaison, division,
arrondis sur coeff.

$\mathcal{O}(n \log_2(q)^2)$



RNS

coefficients

optimisation
arithmétique entière

$\mathcal{O}(kn \log_2(n))$



RNS

NTT

optimisation
arithmétique polynomiale

Rappels sur le RNS et FV

Tableau des représentations

Coût pour monter/descendre

Entiers

Polyômes

Utilité

utilisé dans
Dec and Mult →

positionnel

coefficients

comparaison, division,
arrondis sur coeff.

$\mathcal{O}(n \log_2(q)^2)$



RNS

coefficients

optimisation
arithmétique entière

$\mathcal{O}(kn \log_2(n))$



RNS

NTT

optimisation
arithmétique polynomiale

Rappels sur le RNS et FV

Tableau des représentations

Coût pour monter/descendre

Entiers

Polyômes

Utilité

possible de

positionnel

coefficients

comparaison, division, arrondis sur coeff.

~~$\mathcal{O}(n \log_2(q)^2)$~~

RNS

coefficients

optimisation arithmétique entière

$\mathcal{O}(kn \log_2(n))$

RNS

NTT

optimisation arithmétique polynomiale

Rappels sur le RNS et FV

- ▶ χ_{key} et χ_{err} : des distributions “**étroites**” sur \mathcal{R}_q ;
- ▶ \mathcal{U} : distribution **uniforme** sur \mathcal{R}_q

Génération de clés

- 1 Tirer $\mathbf{s} \leftarrow \chi_{key}$
- 2 Tirer $(\mathbf{a}, \mathbf{e}) \leftarrow \mathcal{U} \times \chi_{err}$
- 3 Retourner $\mathbf{pk} = (\mathbf{p}_0, \mathbf{p}_1) = ([-(\mathbf{a}\mathbf{s} + \mathbf{e})]_q, \mathbf{a})$ (échantillon RLWE)
 $\mathbf{sk} = \mathbf{s}$

Chiffrement

$[\mathbf{m}]_t \in \mathcal{R}_t$ à chiffrer, clé publique \mathbf{pk} ,

- 1 Tirer $(\mathbf{e}_1, \mathbf{e}_2, \mathbf{u}) \leftarrow (\chi_{err})^2 \times \mathcal{U}$
- 2 Retourner $(\mathbf{c}_0, \mathbf{c}_1) = ([\Delta[\mathbf{m}]_t + \mathbf{p}_0\mathbf{u} + \mathbf{e}_1]_q, [\mathbf{p}_1\mathbf{u} + \mathbf{e}_2]_q)$ ($\Delta = \lfloor \frac{q}{t} \rfloor$)

$$[\mathbf{c}_0 + \mathbf{c}_1\mathbf{s}]_q = \Delta[\mathbf{m}]_t + \mathbf{v} \pmod{q} \text{ avec } \mathbf{v}: \text{“bruit frais”}$$

Déchiffrement complètement RNS

Le déchiffrement original

$(\mathbf{c}_0, \mathbf{c}_1)$ chiffrent $[\mathbf{m}]_t$ avec un bruit \mathbf{v} : $[\mathbf{c}_0 + \mathbf{c}_1 \mathbf{s}]_q = \Delta[\mathbf{m}]_t + \mathbf{v} + \mathbf{q}\mathbf{r}$

① normalisation : $\frac{t}{q} \cdot [\mathbf{c}_0 + \mathbf{c}_1 \mathbf{s}]_q = [\mathbf{m}]_t + \frac{\mathbf{v}'}{q} + \mathbf{t}\mathbf{r}$

② arrondis : $\lfloor \frac{t}{q} \cdot [\mathbf{c}_0 + \mathbf{c}_1 \mathbf{s}]_q \rfloor = [\mathbf{m}]_t + \lfloor \frac{\mathbf{v}'}{q} \rfloor + \mathbf{t}\mathbf{r}$

$$\text{Si } \|\mathbf{v}\|_\infty = \max(|v_i|) < B_{dec} \Rightarrow \lfloor \frac{\mathbf{v}'}{q} \rfloor = 0$$

$$\text{Dec}(\mathbf{c}, \mathbf{sk}) = \lfloor \frac{t}{q} \cdot [\mathbf{c}_0 + \mathbf{c}_1 \mathbf{s}]_q \rfloor_t = \lfloor [\mathbf{m}]_t + \mathbf{t}\mathbf{r} \rfloor_t = [\mathbf{m}]_t.$$

Problème pour la représentation (**non positionnelle**) RNS

Comment calculer $(\lfloor \frac{t}{q} \cdot x \rfloor \bmod t)$ en RNS?

Déchiffrement complètement RNS

Calculer un arrondi en RNS

En RNS on peut faire une division exacte efficacement, on calcule donc :

$$\left\lfloor \frac{t}{q} \cdot x \right\rfloor = \frac{tx - |tx|_q}{q} + b, \quad (b \in \{0, 1\})$$

- ① **Conversion rapide** de $|tx|_q$ (en RNS) vers la base RNS $\{t\}$:

$$\text{FastBconv}(tx, q, \{t\}) = |tx|_q + \alpha q \bmod t \quad (\alpha \in [0, k[\cap \mathbb{Z})$$

- ② $\frac{tx - (|tx|_q + \alpha q)}{q} = \lfloor \frac{t}{q} \cdot x \rfloor - \alpha = \lfloor \frac{t}{q} \cdot x \rfloor - E \bmod t$ (with $E = \alpha + b \leq k$)

Remarque : comme $tx \equiv 0 [t]$, on calcule seulement $\frac{-(|tx|_q + \alpha q)}{q} \bmod t$

Il y a une erreur...

Il faut corriger l'erreur E pour avoir un déchiffrement correct.

Déchiffrement complètement RNS

Corriger l'erreur

Écrivons dans \mathbb{Z} : $tx = \lfloor \frac{t}{q} \cdot x \rfloor q + [tx]_q$

en **multipliant** par $\gamma \in \mathbb{N}$: $\left\lfloor \gamma \frac{t}{q} \cdot x \right\rfloor - E = \gamma \left\lfloor \frac{t}{q} \cdot x \right\rfloor + \left\lfloor \gamma \frac{[tx]_q}{q} \right\rfloor - E$

Exercice

Supposons que l'on ait un **saut** $\varepsilon > 0$ i.e. $(-\frac{q}{2} + \varepsilon < [tx]_q < \frac{q}{2} - \varepsilon)$.

Montrer que si $\gamma\varepsilon \geq k + \frac{1}{2}$ on a: $\left\lfloor \left\lfloor \gamma \frac{t}{q} \cdot x \right\rfloor - E \right\rfloor_{\gamma} = \left\lfloor \gamma \frac{[tx]_q}{q} \right\rfloor - E$

Stratégie

- 1 Calculer $\left\lfloor \gamma \frac{t}{q} \cdot x \right\rfloor$ modulo t **et** modulo γ
- 2 Utiliser le **reste centré** modulo γ pour **corriger** l'erreur.

Déchiffrement complètement RNS

$\text{Dec}_{\text{RNS}}((\mathbf{c}_0, \mathbf{c}_1), \mathbf{s}, \gamma)$

Require: $(\mathbf{c}_0, \mathbf{c}_1)$ un chiffré de $[\mathbf{m}]_t$, et \mathbf{s} la clé secrète, tout deux dans la base q , un entier γ premier avec t et q .

Ensure: $[\mathbf{m}]_t$

- 1: **for** $m \in \{t, \gamma\}$ **do**
- 2: $\mathbf{s}^{(m)} \leftarrow \text{FastBconv}(-\gamma t(\mathbf{c}_0 + \mathbf{c}_1 \mathbf{s}), q, \{m\}) \cdot |q^{-1}|_m$
- 3: **end for**
- 4: $\tilde{\mathbf{s}}^{(\gamma)} \leftarrow [\mathbf{s}^{(\gamma)}]_\gamma$
- 5: $\mathbf{m}^{(t)} \leftarrow [(\mathbf{s}^{(t)} - \tilde{\mathbf{s}}^{(\gamma)}) \times |\gamma^{-1}|_t]_t$
- 6: **return** $\mathbf{m}^{(t)}$

Résumé

- Meilleure complexité asymptotique $\mathcal{O}(n^3) \rightarrow \mathcal{O}(n^2 \log_2(n))$.
- Flexible en terme de parallélisation.
- Borne sur le bruit modifiée : $\|\mathbf{v}\|_\infty < \frac{\Delta - |q|_t}{2} - \frac{k\Delta}{\gamma}$.
(profondeur inchangée en pratique)

Multiplication homomorphique complètement RNS

Multiplication homomorphique originale de (c_0, c_1) par (c'_0, c'_1)

- 1 Produit : $(\tilde{c}_0, \tilde{c}_1, \tilde{c}_2) = (c_0 c'_0, c_0 c'_1 + c'_0 c_1, c_1 c'_1)$ dans \mathbb{Z} (**reconstruire**)
- 2 **Division + Arrondis** : $\hat{c}_i = \lfloor \frac{t}{q} \cdot \tilde{c}_i \rfloor$
 $\rightsquigarrow [\hat{c}_0 + \hat{c}_1 s + \hat{c}_2 s^2]_q = \Delta[m_1 m_2]_t + v'' \pmod q$
- 3 Relinéarisation : $(\hat{c}_0 + \hat{c}_2 s^2, \hat{c}_1) \xrightarrow{s \text{ private}} (\hat{c}_0 + \hat{c}_2 (s^2 + e + as), \hat{c}_1 - a \hat{c}_2)$
 - ▶ Bruit trop "gros" ($\|\hat{c}_2 \times e\|_\infty < q/2 \times n B_{\text{err}}$) \rightarrow Solution originale :
 - ▶ **Décomposer** $\hat{c}_2 = b_0 + b_1 \omega + \dots + b_\ell \omega^{\ell-1}$ **en base ω**
 - ▶ Clé publique de relinéarisation: $([s^2 \cdot (1, \omega, \dots, \omega^{\ell-1}) + \vec{e} + \vec{a} s]_q, -\vec{a})$
 - ▶ Bruit plus faible $\|(b_0, b_1, \dots, b_\ell) \cdot \vec{e}\|_\infty < \ell \omega / 2 \times n B_{\text{err}}$

Problèmes pour la représentation RNS

Reconstruction dans \mathbb{Z} , division et arrondis, décomposition en base ω ...

Multiplication homomorphique complètement RNS

- **Problème 1** : calculer le produit $(\tilde{c}_0, \tilde{c}_1, \tilde{c}_2)$ in \mathbb{Z} .
→ **Solution** : $\|\tilde{c}_i\|_\infty < \sim nq^2$: ne pas reconstruire dans \mathbb{Z} ,
 - ① Conversion rapide des résidus dans la deuxième base $\mathcal{B}_{sk} = \mathcal{B} \cup \{m_{sk}\}$;
 - ② Calculer $(\tilde{c}_0, \tilde{c}_1, \tilde{c}_2)$ in $q \cup \mathcal{B}_{sk}$.

Multiplication homomorphique complètement RNS

Problème 1: calculer les produits $(\tilde{c}_0, \tilde{c}_1, \tilde{c}_2)$

$\|\tilde{c}_i\|_\infty < \sim nq^2$: pas de reconstruction dans \mathbb{Z} .

→ Juste prendre une base plus grande que $\{q_1, \dots, q_k\}$

Solution : introduire une deuxième base \mathcal{B}

Étape	base q_1, \dots, q_k		base $\mathcal{B} \cup \{\tilde{m}\}$
0	c_i, c'_j		
1	c_i, c'_j	$\xrightarrow[\text{non-exacte}]{\text{conversion rapide}}$	$c_i + \textcircled{qu_i}, c'_j + \textcircled{qu'_j}$ <i>à réduire</i>
2			$\hat{c}_i \leftarrow \text{MRed}_{q_{\tilde{m}}}(c_i + qu_i)$
3	$\tilde{c}_0 \leftarrow c_0 \times c'_0, \text{ etc}$		$\tilde{c}_0 \leftarrow \hat{c}_0 \times \hat{c}'_0, \text{ etc}$

- Seulement des conversions de base RNS **non-exactes mais rapides**
- **cheap** Réduction de Montgomery des q -overflows u'_i s

Multiplication homomorphique complètement RNS

- **Problème 1** : calculer le produit $(\tilde{c}_0, \tilde{c}_1, \tilde{c}_2)$ in \mathbb{Z} .
→ **Solution** : $\|\tilde{\mathbf{c}}_i\|_\infty < \sim nq^2$: ne pas reconstruire dans \mathbb{Z} ,
 - 1 Conversion rapide des résidus dans la deuxième base $\mathcal{B}_{sk} = \mathcal{B} \cup \{m_{sk}\}$;
 - 2 Calculer $(\tilde{c}_0, \tilde{c}_1, \tilde{c}_2)$ in $q \cup \mathcal{B}_{sk}$.
- **Problème 2**: division et arrondis des $\hat{c}_i = \lfloor \frac{t}{q} \cdot \tilde{c}_i \rfloor$ en RNS.
→ **Solution**: partie entière au lieu de l'arrondis dans \mathcal{B}_{sk} ,
 - 1 FastBconv $(\tilde{\mathbf{c}}_i, q, \mathcal{B}_{sk})$ et calcul de la partie entière dans \mathcal{B}_{sk} ;
 - 2 $\hat{c}_i \leftarrow \text{FastBconvSK}(\tilde{c}_i, \mathcal{B}_{sk}, q)$ (pas de multiple du module de \mathcal{B}).

Multiplication homomorphique complètement RNS

Problème 2 : division et arrondis $\hat{c}_i = \lfloor \frac{t}{q} \cdot \tilde{c}_i \rfloor$ en RNS

Contexte \neq déchiffrement, aucune garantie d'avoir un saut ϵ .

\Rightarrow On ne **peut pas** obtenir un **arrondi RNS correct** avec la γ -correction.

Solution : partie entière au lieu de l'arrondi

Étape	base q_1, \dots, q_k		base $\mathcal{B} \cup \{m_{sk}\}$
0	\tilde{c}_i		\tilde{c}_i
1	$t\tilde{c}_i$	$\xrightarrow[\text{non-exacte}]{\text{conversion rapide}}$	$ t\tilde{c}_i _q + q\tilde{u}_i$
2			$\hat{c}_i \leftarrow \frac{t\tilde{c}_i - (t\tilde{c}_i _q + q\tilde{u}_i)}{q}$ in $\mathcal{B} \cup \{m_{sk}\}$
3	$\hat{c}_i = \lfloor \frac{t}{q} \cdot \tilde{c}_i \rfloor + \mathbf{e}_i$ ($\ \mathbf{e}_i\ _\infty \leq k$)	$\xleftarrow[\text{exacte}]{\text{conversion rapide}}$	$\hat{c}_i, \hat{c}_i _{m_{sk}}$ (on utilise $ \hat{c}_i _{m_{sk}}$ pour corriger l'overflow)

Partie entière \Rightarrow le **bruit** augmente plus vite.

Multiplication homomorphique complètement RNS

- **Problème 1** : calculer le produit $(\tilde{\mathbf{c}}_0, \tilde{\mathbf{c}}_1, \tilde{\mathbf{c}}_2)$ in \mathbb{Z} .
→ **Solution** : $\|\tilde{\mathbf{c}}_i\|_\infty < \sim nq^2$: ne pas reconstruire dans \mathbb{Z} ,
 - 1 Conversion rapide des résidus dans la deuxième base $\mathcal{B}_{sk} = \mathcal{B} \cup \{m_{sk}\}$;
 - 2 Calculer $(\tilde{\mathbf{c}}_0, \tilde{\mathbf{c}}_1, \tilde{\mathbf{c}}_2)$ in $q \cup \mathcal{B}_{sk}$.
- **Problème 2**: division et arrondis des $\hat{\mathbf{c}}_i = \lfloor \frac{t}{q} \cdot \tilde{\mathbf{c}}_i \rfloor$ en RNS.
→ **Solution**: partie entière au lieu de l'arrondis dans \mathcal{B}_{sk} ,
 - 1 FastBconv $(\tilde{\mathbf{c}}_i, q, \mathcal{B}_{sk})$ et calcul de la partie entière dans \mathcal{B}_{sk} ;
 - 2 $\hat{\mathbf{c}}_i \leftarrow \text{FastBconvSK}(\tilde{\mathbf{c}}_i, \mathcal{B}_{sk}, q)$ (pas de multiple du module de \mathcal{B}).
- **Problem 3**: décomposer $\hat{\mathbf{c}}_2$ en base ω dans la base q .
→ **Solution**: décomposer $\hat{\mathbf{c}}_2$ "façon RNS",
 - 1 $\hat{\mathbf{c}}_2 = \left(|\hat{\mathbf{c}}_2 \cdot \frac{q_1}{q}|_{q_1}, \dots, |\hat{\mathbf{c}}_2 \cdot \frac{q_k}{q}|_{q_k} \right)$;
 - 2 $\mathbf{evk}_{RNS} = \left(\left[\left(|s^2 \frac{q}{q_1}|_q, \dots, |s^2 \frac{q}{q_k}|_q \right) + \vec{e} + \vec{a}s \right]_q, \vec{a} \right)$.

Multiplication homomorphique complètement RNS

Problème 3 : Accès à un système positionnel

Décomposer $\hat{c}_2 = \mathbf{b}_0 + \mathbf{b}_1\omega + \dots + \mathbf{b}_\ell\omega^{\ell-1}$ en base ω (**positional**).

Rappel : remplacer $\hat{c}_2 \times \mathbf{e} \stackrel{\|\cdot\|}{\sim} nqB_{\text{err}} \rightsquigarrow (\mathbf{b}_0, \mathbf{b}_1, \dots, \mathbf{b}_\ell) \cdot \vec{\mathbf{e}} \stackrel{\|\cdot\|}{\sim} n\ell\omega B_{\text{err}}$

Solution : utiliser la representation RNS...

$$\hat{c}_2 = \mathbf{b}_0 + \mathbf{b}_1\omega + \dots + \mathbf{b}_\ell\omega^{\ell-1} \quad (\mathbf{b}_i = \|\hat{c}_2\omega^{-i}\|_\omega)$$

$$\hat{c}_2 = \mathbf{d}_1 \frac{q}{q_1} + \mathbf{d}_2 \frac{q}{q_2} + \dots + \mathbf{d}_k \frac{q}{q_k} \pmod{q} \quad (\mathbf{d}_i = \|\hat{c}_2 \frac{q_i}{q}\|_{q_i})$$

$$\|\mathbf{b}_i\|_\infty \sim \|\mathbf{d}_i\|_\infty \Rightarrow \|(\mathbf{b}_0, \mathbf{b}_1, \dots, \mathbf{b}_\ell) \cdot \vec{\mathbf{e}}\|_\infty \sim \|(\mathbf{d}_1, \mathbf{d}_2, \dots, \mathbf{d}_k) \cdot \vec{\mathbf{e}}\|_\infty$$

\Rightarrow la borne $\ell\omega \times nB_{\text{err}}$ devient $k\omega \times nB_{\text{err}}$

\rightarrow si $\omega \sim q_i$ (i.e. $\ell = k$), la representation RNS a un effet équivalent.

Eval. key: $\mathbf{s}^2 \cdot (1, \omega, \dots, \omega^{\ell-1}) + \vec{\mathbf{e}} + \vec{\mathbf{a}}\mathbf{s} \rightsquigarrow \mathbf{s}^2 \cdot (\frac{q}{q_1}, \dots, \frac{q}{q_k}) + \vec{\mathbf{e}} + \vec{\mathbf{a}}\mathbf{s}$

Full RNS variant of FV multiplication

Résumé

- Opérations coûteuses dans \mathbb{Z} \rightsquigarrow Conversions de base rapide.
- Le bruit croit de manière équivalente (pas d'impact sur la profondeur).
- Même nombre de produit polynomiaux \Rightarrow Même complexité asymptotique.
- Meilleure complexité pour les opérations sur les coefficients.
- Peut être complètement parallélisé.

Implémentation Logicielle

- C++ utilisant NFLlib (pour l'arithmétique polynomiale dans \mathcal{R} avec NTT),
- comparée avec ^a une approche standard avec NFLlib+GMP 6.1.0,
- Ordinateur portable avec Fedora 22, un i7-4810MQ CPU @ 2.80GHz, g++ v5.3.1, Hyper-Threading et Turbo Boost désactivés.

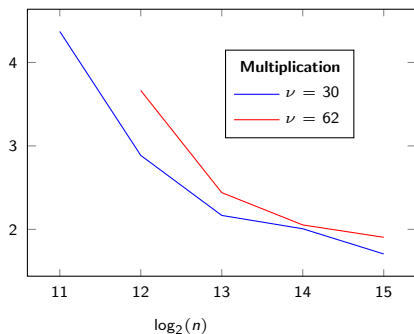
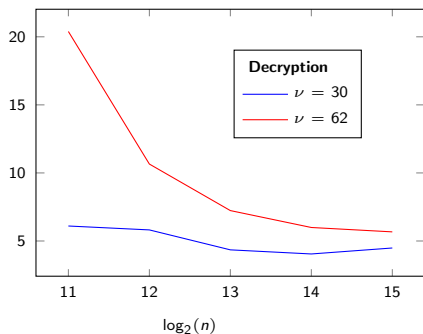
^a<https://github.com/CryptoExperts/FV-NFLlib>

Résultats - Facteurs d'accélération

ν taille des modulis (bit)	$\log_2(n)$	11	12	13	14	15
30	k	3	6	13	26	53
62	k	1	3	6	12	25

$$t = 2^{10}$$

$$\gamma = 2^8 \text{ (suffisant en pratique)}$$



$n \nearrow \Rightarrow$ les NTTs dominent le coût de calcul \Rightarrow accélération \searrow .

Conclusion

- La conversion vers des algorithmes n'utilisant que du RNS permet d'obtenir une amélioration significative des temps de calcul dans FV.
- Le bruit croît plus rapidement en théorie mais il n'y a pas de différence significative en pratique.
- Permet d'envisager des implémentations adaptées sur des périphériques exploitant pleinement le potentiel de parallélisation de ces algorithmes, tels que des GPUs et des FPGAs.